

پیش‌بینی سیلاب‌های تاریخی رودخانه کشکان با استفاده از مدل هیدرولوژیکی HEC-HMS

سید موسی حسینی* - استادیار گروه جغرافیای طبیعی، دانشکده جغرافیا، دانشگاه تهران
مصطفی جعفر بیکلو - دانشیار گروه جغرافیای طبیعی، دانشکده جغرافیا، دانشگاه تهران
مجتبی یمانی - استاد گروه جغرافیای طبیعی، دانشکده جغرافیا، دانشگاه تهران.
فاتمه گراوند - دانشجوی کارشناسی ارشد هیدرولوژیکی دانشکده جغرافیا، دانشگاه تهران

تأیید نهایی: ۱۳۹۴/۰۵/۱۲ پذیرش مقاله: ۱۳۹۳/۱۰/۲۰

چکیده

در مدیریت یکپارچه حوضه‌های آبریز، پیش‌بینی، مهار و کاهش خسارت‌های ناشی از سیل اهمیت ویژه‌ای دارد. با اقدامات مناسب می‌توان شدت خسارات ناشی از سیل در حوضه را کاهش داده و در برنامه‌ریزی، طراحی و پیاده‌سازی سیستم هشدار سیل استفاده کرد. حوضه آبریز رودخانه کشکان واقع در استان لرستان دارای پتانسیل بالای سیل خیزی می‌باشد. در این پژوهش سعی شده است با کمک مدل هیدرولوژیکی HEC-HMS، میزان رواناب حاصل از بارش در این حوضه را شبیه‌سازی نمود. در این راستا، ابتدا مدل HEC-HMS توسط داده‌های ثبت شده بارش-رواناب روزانه طی دوره ترسالی، واسنجی و پارامترهای موردنیاز بهینه شدند. سپس کارآیی این مدل در پیش‌بینی سیلاب‌های تاریخی (با دوره بازگشت‌های ۲ تا ۱۰۰۰ ساله) با وارد نمودن بارش با دوره بازگشت‌های مختلف به عنوان ورودی مدل، مورد بررسی قرار گرفت. برای مقایسه نتایج مدل، تحلیل فراوانی سیلاب داده‌های حداقل دبی لحظه‌ای ثبت شده در ایستگاه هیدرومتری نیز انجام گرفت. نتایج به دست‌آمده نشان داد که مدل HEC-HMS دارای کارآیی بالایی در شبیه‌سازی رواناب روزانه طی دوره ترسالی و همچنین در حداقل دبی لحظه‌ای سیلاب به ازای دوره بازگشت‌های کمتر از ۳۰۰ سال را دارد. لذا به خوبی می‌توان از این مدل هیدرولوژیکی در شبیه‌سازی رواناب روزانه و حداقل دبی لحظه‌ای سیلاب به ازای دوره بازگشت‌های کوچک در حوضه موردمطالعه استفاده نمود. اما به ازای دوره بازگشت‌های بالاتر از ۳۰۰ سال، فاصله بین دبی‌های سیلاب پیش‌بینی شده توسط مدل با مقداری به دست‌آمده از تحلیل فراوانی بیشتر می‌شود. بنابراین برای پیش‌بینی سیلاب‌های تاریخی بزرگ توسط مدل HEC-HMS باید ضریب اطمینان لازم را منظور و یا با توجه به عوارض ژئومورفولوژیک که شواهد عینی شرایط هیدرولوژیک حاکم بر رودخانه طی دوران متمادی می‌باشند، ضریب اصلاحی لازم را برای افزایش دقت مدل اعمال نمود.

واژگان کلیدی: رود کشکان، سیلاب تاریخی، مدل HEC-HMS، شبیه‌سازی سیلاب.

مقدمه

با تمام اهمیتی که آب در اقتصاد ایران دارد و خرابی‌هایی که هرسال از سیلاب‌ها به بار می‌آید و آب‌هایی که بدون استفاده از کشور خارج یا به کویر سازیز می‌شود، هنوز آن‌چنان که باید برنامه‌ریزی اصولی در این زمینه صورت نگرفته است (علیزاده، ۱۳۸۸: ۳۳). بر اساس آمار منتشرشده در میان بلایای طبیعی، سیل بیشترین تلفات و خسارت‌ها را به جوامع بشری وارد آورده است (قدسیان، ۱۳۷۷: ۱۴). بررسی تغییرات ژئومولوژیکی مجاری رود، و سیلانی شدن برخی از آن‌ها، به علت تغییرات قابل‌توجه کاربری در بستر رودخانه به دلیل دخالت انسان به وجود آمده است (James, 1999: 259). بررسی آمار و اطلاعات خسارات سالانه ناشی از وقوع سیلاب‌ها در ایران و جهان بیانگر گستردگی خدمات ناشی از سیلاب به منابع طبیعی، انسانی و اقتصادی مناطق مختلف می‌باشد. لذا تدوین برنامه‌های جامع باهدف مهار، کنترل و بهره‌برداری بهینه با اعمال اقدامات مدیریتی، متناسب با کلیه عوامل دخیل در ایجاد و طغیان سیلاب‌های منطقه‌ای ضروری می‌باشد. چراکه بررسی‌ها و مطالعات انجام‌شده نشان می‌دهند که علت افزایش خسارات سیل در دنیا، افزایش تکرار یا بزرگی طغیان‌ها نبوده، بلکه تشدید استفاده از اراضی سیلاب دشت‌ها و اراضی سیل گیر مجاور رودخانه‌ها می‌باشد. با عنایت به تأثیر عوامل مختلف در بروز سیل، انواع اقدامات مدیریتی مانند آبخیزداری و مدیریت کاربری اراضی، برنامه‌ریزی و مدیریت در مسیر رودخانه‌ها و مسیل‌ها، پیش‌بینی و هشدار سیل، اقدامات پیشگیری و حمایت در مناطق سیل گیر و پنهان‌بندی خطر سیل، می‌توانند در کاهش خسارات ناشی از آن مؤثر باشند. از جمله اقدامات مدیریتی که می‌تواند نقش بهسزایی در کاهش خسارات ناشی از وقوع سیلاب داشته باشد، پنهان‌بندی خطر سیل است (قیمی اویلی و همکاران، ۱۳۸۹: ۱۰۷). عوامل متعددی در بروز سیل در مناطق مختلف مؤثر است، که از جمله این عوامل می‌توان به ویژگی‌های توپوگرافیک، مورفولوژی رودخانه و فعالیت‌های بشری اشاره کرد (Brooks, 1981: 246). از این‌رو کنترل و مقابله با سیل و شناخت عوامل و پارامترهای مؤثر بر سیلاب اهمیت بسیار زیادی دارد (Smith, 1992: 25).

شعبانلو و همکاران در سال (۱۳۸۷) با استفاده از آمار حداکثر بارندگی ۲۴ ساعته ایستگاه‌های مورد مطالعه و نقشه‌های موردنیاز و نرم‌افزار هیدرولوژیکی HEC-HMS استفاده کرده‌اند و به پنهان‌بندی سیلاب در شبکه رودخانه‌های استان گلستان با استفاده از GIS پرداخته‌اند و به این نتیجه رسیدند که میزان کاهش دبی اوج خروجی از حوضه لزوماً متناسب با مساحت زیر حوضه‌ها نبوده و زیرحوضه‌های با دبی بیشتر به همان نسبت بر دبی سیل خروجی تأثیرگذار نیستند و به‌تبع، مساحت پنهان‌های سیل گیر نیز لزوماً متناسب با دبی اوج تغییر نخواهد کرد و تابع سیل خروجی و پارامترهای دیگر است از جمله می‌توان به موقعیت مکانی و نحوه آرایش آبراهه‌ها اشاره کرد.

نوری و همکاران در سال (۱۳۹۱) مدل HEC-HMS را در تخمین سیلاب حوضه‌های فاقد آمار مورد بررسی قراردادند. در این مطالعه به تخمین سیلاب حوضه آبریز قروه واقع در استان کردستان، پرداخته شده است. در این راستا ۴ رگبار را که دارای هیدرولوگراف و هیتوگراف متناظر هم انتخاب و توسط نرم‌افزار HEC-HMS و با استفاده از روش تجربی SCS هیدرولوگراف سیل حوضه شبیه‌سازی شده و شماره منحنی، زمان تأخیر و میزان تلفات توسط نرم‌افزار مورد واسنجی قرارگرفته است. نتایج نشان می‌دهد که نرم‌افزار با توجه به واسنجی‌های صورت گرفته یک ابزار مفید جهت تخمین دبی اوج سیلاب در نقاط فاقد آمار حوضه‌های آبریز خواهد بود.

نحوه‌گر و همکاران در سال (۱۳۹۱) مدل HEC-HMS و حساسیت آن در برآورد مشخصه‌های هیدرولوگراف سیلاب را مورد ارزیابی قراردادند. در این تحقیق جهت واسنجی پارامتر شماره منحنی، از آمار ۴ رگبار مشاهده‌ای و سیل همزمان آن‌ها استفاده شده است. نتایج نشان دادند که این مدل در خصوص پیش‌بینی دبی اوج و زمان مربوط به آن در خروجی حوضه واقع در ایستگاه هیدرولوگی سرمهقس می‌تواند نتایج قابل قبولی را ارائه نماید اما مدل در برآورد حجم سیلاب موفق نبود. نتایج آنالیز حساسیت مدل نشان داد که به محض اضافه کردن ۵ درصد به شماره منحنی حوضه و

رسیدن به مقدار ۷۹/۲۷، دبی پیک سیل بهشدت افزایش پیدا می‌کند. این نکته نشان داد که هرگونه عملیات کنترل سیلاب در محدوده موردمطالعه، باید با مطالعه کافی و در جهت کنترل پوشش گیاهی صورت گیرد.

جعفرنیا و همکاران در سال (۱۳۹۲) به برآورد سیلاب حوضه آبریز رودخانه تالار (زیر حوضه کسیلیان) با استفاده از مدل HEC-HMS پرداختند، و سعی شد با استفاده از مدل HEC-HMS سیلاب واقع در بالادست ایستگاه هیدرومتری ولیکبن زیر حوضه کسیلیان واقع در استان مازندران برآورد گردد. برای کالیبره کردن مدل از داده‌های سیلاب اندازه‌گیری شده و هایتوگراف بارش منطقه استفاده شد. نتایج تحقیق نشان می‌دهد که پیش‌بینی دبی اوج سیلاب در قایع مختلف به روش SCS خطای اندکی داشته است. درمجموع مدل یادشده توانایی بسیار خوبی در پیش‌بینی دبی اوج سیلاب منطقه دارد. بنابراین از این مدل می‌توان برای پیش‌بینی سیلاب منطقه استفاده گردد.

میلر و همکاران در سال (۲۰۰۲) با تلفیق مدل‌های هیدرولوژیک و سیستم‌های اطلاعات جغرافیایی، اثر تغییرات کاربری اراضی و پوشش گیاهی را بر عکس العمل هیدرولوژیک دو حوضه آبخیز ایالات متحده آمریکا موردمطالعه قراردادند. آن‌ها با استفاده از داده‌های موردنیاز ارتفاعی، خاک، خصوصیات پوشش اراضی و تغییرات شماره منحنی (CN) را در طول زمان برای ورود به مدل هیدرولوژیک HEC-HMS تهیه کردند. بررسی روند تغییرات رواناب در محیط مدل HEC-HMS و با استفاده از روش شماره منحنی نشان داد که در حوضه آبخیز رودخانه سن پدر و با مساحت ۳۱۵۰ کیلومترمربع به علت کاهش سطح جنگل‌ها و ازدیاد اراضی کشاورزی و مناطق شهری بین سال‌های ۱۹۷۳ تا ۱۹۹۷، رواناب متوسط سالانه افزایش یافته است.

چنگ و همکاران در سال (۲۰۱۳) برای پیش‌بینی سیلاب‌های شدید در حوضه آبخیز شیمن در تایوان از مدل هیدرولوژیکی HEC-HMS استفاده کردند. آن‌ها با استفاده از داده‌های سه سیلاب خطرناک با دوره بازگشت‌های ۱ تا ۹۰ ساله رواناب حاصل از بارش‌های سیل‌آسا را در مدل HEC-HMS شبیه‌سازی کردند. آن‌ها با توجه به رضایت-بخش بودن یافته‌های ایشان به این نتیجه رسیدند که مدل هیدرولوژیکی، کالیبره و تأییدشده HEC-HMS قادر به پیش-بینی سیلاب‌های تاریخی می‌باشد.

جو و همکاران در سال (۲۰۱۴) برای دو زیر حوضه باکیل و جانک‌پیونگ در کره‌جنوبی با استفاده از داده‌های تاریخی یک دوره آماری بین سال‌های (۲۰۰۹-۲۰۰۰)، ۸ سیلاب رخداده در حوضه بوکیل و ۶ سیلاب در حوضه جانک‌پیونگ را با دو مدل هیدرولوژیکی ReFH و HEC-HMS شبیه‌سازی کردند. آن‌ها سپس یافته‌های دو مدل را باهم مقایسه کردند و نهایتاً با این نتیجه رسیدند که مدل ReFH محدودیت در شبیه‌سازی جریان اوج را نشان می‌دهد در حالی که مدل HEC-HMS شبیه‌سازی خوبی در هر دو حوضه نشان داد.

در حوضه موردمطالعه این تحقیق، مطالعات محدودی در زمینه مدل‌سازی بارش-رواناب انجام‌شده است. در این زمینه تنها می‌توان به تحقیق نگارش و همکاران در سال (۱۳۹۰) اشاره نمود که ایشان با استفاده از داده‌های بارش و دبی روزانه به بررسی شدت سیل خیزی حوضه آبریز کشکان رود پرداختند که نتایج بررسی میانگین لغزان بارش سالانه در این حوضه بیانگر روند کاهش نامحسوس و غیر معنی‌دار بوده و بارش حوضه آبریز کشکان رود طی این دوره آماری به‌گونه‌ای تقریباً ثابت بوده است ولی روند تغییرات ضربی رواناب سالانه حوضه دارای روندی افزایشی، پرشیب و معنی‌دار بوده است. با توجه به سابقه محدود تحقیقات انجام‌شده در حوضه کشکان، در این تحقیق برای اولین بار سعی می‌شود که کارآیی مدل هیدرولوژیکی HEC-HMS برای مدل‌سازی فرآیند بارش-رواناب و همچنین پیش‌بینی سیلاب‌های تاریخی استفاده و نتایج آن مورد ارزیابی قرار گیرد.

محدوده موردمطالعه

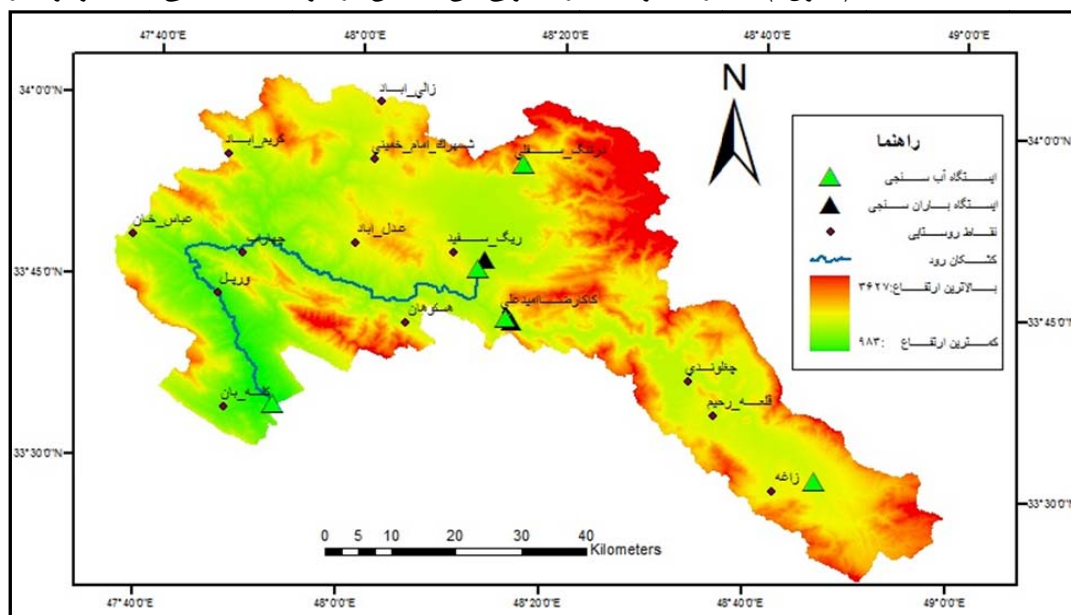
حوضه آبخیز رودخانه کشکان با وسعت ۹۲۷۶ کیلومترمربع تماماً در استان لرستان و در ناحیه‌ی جنوب‌غربی ایران واقع گردیده است. این حوضه بخش مهمی از سرشاخه‌های پرآب رودخانه‌ی کرخه را تشکیل می‌دهد و حدود یک‌سوم از خاک استان لرستان را در بر می‌گیرد. سیستم اصلی رودخانه‌ی کشکان ابتدا از به هم پیوستن سرشاخه‌های رودخانه‌های هرو و دواه الشتر تشکیل می‌گردد. که این سرشاخه‌ها از دامنه‌ی کوههای مرتفع و برف‌گیر گرین و میش‌پرور سرچشم می‌گیرند. این رودخانه در محل پل گامویشان به رودخانه‌ی سیمره ملحق شده و رودخانه کرخه را تشکیل می‌دهد (سوری-نژاد، ۱۳۸۱: ۶۱). منطقه موردمطالعه بخشی از این حوضه آبخیز می‌باشد از ابتدای شروع سرشاخه‌های رودخانه کشکان تا پل باستانی کشکان به طول تقریبی ۹۵ کیلومتر واقع شده است. مختصات جغرافیایی محدوده موردمطالعه بین طول‌های ۴۷ درجه و ۳۶ دقیقه تا ۴۸ درجه و ۵۹ دقیقه شرقی و عرضهای ۳۳ درجه و ۳۵ دقیقه تا ۳۴ درجه و ۲ دقیقه شمالی قرار دارد (شکل ۱). بر اساس آنالیز سری زمانی داده‌های موجود، متوسط دبی سالانه رود کشکان در ایستگاه پل کشکان، واقع در محدوده موردمطالعه $۳۳\frac{۱}{۲}$ مترمکعب بر ثانیه و میزان دبی ویژه این ایستگاه $۹/۰۲$ لیتر بر ثانیه در هر کیلومترمربع می‌باشد (سازمان آب منطقه‌ای استان لرستان، ۱۳۹۲). میانگین بارندگی سالیانه در این نواحی بین ۴۵۰ تا ۶۵۰ میلی‌متر است. منطقه موردمطالعه بخشی از زیر حوضه کشکان، دارای آب‌وهوای مدیترانه‌ای است و ریزش‌های جوی اغلب به صورت باران در فصل زمستان رخ می‌دهد و باعث ایجاد سیلاب‌های شدیدی در منطقه می‌گردد (همان منبع). خصوصیات فیزیوگرافی حوضه موردمطالعه بر اساس مدل رقوم ارتفاعی حوضه در نرم‌افزار Arc GIS محاسبه و خلاصه آن‌ها در جدول ۲ ارائه شده است. حوضه رودخانه کشکان از نظر ژئومورفولوژی به واحدهای کوهستانی مرتفع و کم ارتفاع، تپه‌ها، فلات‌ها و تراس‌های فوقانی، دشت‌های پایکوهی صاف و هموار تقسیم‌بندی می‌گردد. واحدهای کوهستانی مرتفع با ساختمان سنگی و شبیب بسیار زیاد و دیوارهای قائم به صورت پرتگاه‌های فرسایشی است این سطوح عمدها در نواحی شمالی، مرکزی و در امتداد مسیر رود کشکان دیده می‌شوند و سهم بسزایی در رژیم هیدرولوژیکی آن برجای می‌گذارد و به هنگام بارش‌های جوی، جریان آب سطحی بالاصله بر روی دامنه آن‌ها ایجاد می‌شود (سوری‌نژاد، ۱۳۸۱: ۶۳). از نظر کاربری اراضی در این حوضه بیشترین درصد مساحت منطقه (بیش از ۷۰%) مربوط به مراتع مرغوب و استپی با درخت‌های پراکنده می‌باشد. از نظر خاکشناسی نیز بیشتر سطح حوضه دارای خاک ریزدانه و نفوذناپذیر رس و سیلت است که پتانسیل تولید رواناب زیادی حین وقوع بارندگی دارند (کرمی و همکاران، ۱۳۸۹: ۱۰۱). در میان استان‌های کشور، استان لرستان به لحاظ قرارگیری در زاگرس میانی و شبیب زیاد کوهستانی (با شبیب متوسط حدود ۱۱ درصد)، ساختار زمین‌شناسی (چینه‌شناسی، تکتونیک و لیتوولوژی)، شرایط اقلیمی و آب‌وهوایی و فیزیوگرافی حوضه‌های آبخیز از خطر بلایای طبیعی مستثنی نبوده است. که در طی دو دهه گذشته تاکنون سیلاب بالغ بر ۲۵۰ میلیارد تومان (بر پایه نرخ‌های همان سال خسارت) خسارات مستقیم و ملموس (بدون در نظر گرفتن خسارات مربوط به هدر رفت آب، خاک، فرسایش و پوشش گیاهی) به زیرساخت‌ها و بخش‌های مختلف اقتصادی استان وارد کرده است. از بین رودخانه دائمی لرستان از سال ۱۳۳۴ تاکنون در یک دوره ۵۸ ساله، رودخانه کشکان با ۱۶ سیلاب بالای ۱۰۰۰ مترمکعب در ثانیه، سیل خیزترین رودخانه استان است (جدول ۱). بزرگ‌ترین سیلاب ثبت شده استان، سیل ۱۵ بهمن سال ۱۳۸۴ رودخانه کشکان با آبدهی پیک ۳۰.۹ مترمکعب در ثانیه بوده که میزان خسارات ناشی از آن در بخش‌های مختلف معادل ۸۰ میلیارد تومان بوده است. بر اساس آمار موجود سیل‌های رخداده در حوضه موردنظر (جدول شماره ۱) و با توجه به شرایط فیزیوگرافی و دلالت عوامل انسانی از جمله مهم‌ترین آن‌ها می‌توان تغییرات کاربری اراضی (از بین بردن انواع پوشش‌های طبیعی گیاهی) و دلالت در حریم بستر رودخانه (شخم زدن بستر و تبدیل آن به اراضی کشاورزی) اشاره کرد که این عوامل باعث پتانسیل بالای سیل خیزی این حوضه شده است. چنین وضعیتی در این حوضه آبخیز، لزوم استفاده از یک مدل هیدرولوژیکی کارآ و مطمئن را ایجاب می‌کند که بتواند با دقت و صحت بالایی بر اساس وضعیت بارش میزان رواناب

حاصل از آن را تخمین بزند و بتوان در امر برنامه‌ریزی، طراحی و پیاده‌سازی سیستم هشدار سیل از آن استفاده کرد. جهت نیل به این هدف مهم، در این پژوهش ابتدا فرآیند بارش-رواناب روزانه در حوضه رودخانه کشکان توسط مدل هیدرولوژیکی HEC-HMS شبیه‌سازی شده و سپس کارآبی این مدل در پیش‌بینی سیالاب‌های تاریخی با دوره بازگشت‌های بالا مورد بررسی قرار گرفت و نتایج به دست آمده از هر بخش با مقادیر متناظر ثبت شده در حوضه و همچنین مقادیر به دست آمده از تحلیل فراوانی سیل مقایسه گردید.

جدول (۱): مشخصات سیالب‌های لحظه‌ای رودخانه کشکان از سال ۱۳۸۸-۱۳۴۹ (سازمان آب منطقه‌ای لرستان، ۱۳۹۲)

تاریخ و قوع سیلاب	حداکثر دبی لحظه‌ای سیلاب (m^3/s)	تاریخ و قوع سیلاب	حداکثر دبی لحظه‌ای سیلاب (m^3/s)
۱۳۷۰/۱۲/۶	۱۰۲۰	۱۳۴۹/۱۲/۲۴	۱۳۰۰
۱۳۷۱/۱۱/۱۴	۱۹۰۰	۱۳۵۱/۱۱/۲	۱۲۰۸
۱۳۷۲/۹/۲	۲۳۲۵	۱۳۵۶/۹/۲۴	۱۱۴۰
۱۳۷۲/۱۱/۱۲	۲۶۶۷	۱۳۵۷/۹/۲۱	۱۵۰۰
۱۳۷۷/۱/۱۰	۱۱۶۰	۱۳۵۳/۹/۴	۱۲۶۵
۱۳۸۳/۱۲/۲۱	۱۶۳۰	۱۳۶۵/۲/۱۴	۲۱۸۰
۱۳۸۴/۱۱/۱۵	۳۰۳۰	۱۳۶۶/۱۰/۳۰	۱۳۴۵
۱۳۸۶/۱/۷	۱۲۹۰	۱۳۶۹/۱/۱۳	۱۲۲۰

از نظر رئومورفولوژیکی نیز مقدار شاخص گرادیان طولی (SL) در حوضه رودخانه کشکان برابر با ۱۳۳ به دست آمده است که نشان دهنده فعالیت کم تکتونیک و قدرت فرسایشی ملایم آبراهه ها می باشد (جدول ۲). با بررسی های انجام گرفته میزان سینوسیته رودخانه ۲/۵۷ به دست آمده است (جدول ۲). همچنین شاخص تراکم سطحی آبراهه ها در حوضه مورد مطالعه برابر با km/km^2 ۱/۶۷ محاسبه شد (جدول ۲). علاوه بر این، مقدار شاخص انشعاب این حوضه برابر با ۴/۴ محاسبه شده است (جدول ۲) که در محدوده مقدار معمولی این شاخص در حوضه های طبیعی ۳ تا ۵ وجود دارد.



شكل (١): نقشه منطقه موردمطالعه

جدول (۲): خصوصیات فیزیوگرافی حوضه موردمطالعه

مقدار	ویژگی	مقدار	ویژگی
۰/۷۴	TSI شاخص سینوسی توپوگرافیک	۳۸۲۵/۴	مساحت (Km^2)
۰/۲۶	HSI شاخص سینوسی هیدرولوژیک	۵۱۶/۸۶	محیط (Km)
۱/۲	SSI شاخص سینوسی استاندارد	۹۴/۷	طول آبراهه اصلی (Km)
۲/۴۴	VI شاخص دره	۹۸۳-۳۶۲۷	پایین‌ترین و بالاترین ارتفاع (m)
۲/۹۵	CI شاخص آبراهه	۱۴/۵	نسبت ناهمواری
۱/۶۷	P شاخص تراکم سطحی آبراهه‌ها	۱۳۲/۹	شاخص گرادیان طولی رودخانه SL
۴/۱۲	Br شاخص انشعاب‌پذیری	۲/۵۷	شاخص سینوسی رودخانه اصلی S

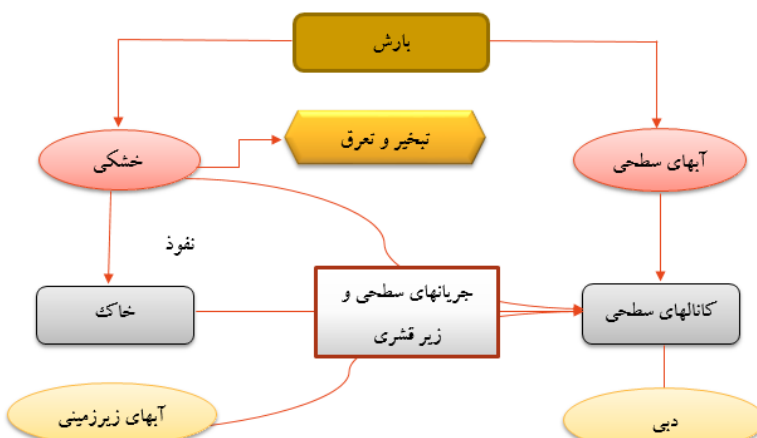
داده‌ها و روش‌ها

برای انجام این پژوهش ابتدا کلیه نقشه‌های بزرگ مقیاس منطقه شامل نقشه‌های توپوگرافی ۱/۲۵۰۰۰، نقشه زمین-شناسی ۱/۲۵۰۰۰، نقشه خاک‌شناسی، لایه کاربری اراضی و پوشش گیاهی و همچنین آمار دبی، بارش، دما و تبخیر در مقیاس روزانه در دوره‌ی آماری (۱۳۹۲-۱۳۴۶) از سازمان آب منطقه‌ای استان لرستان تهیه شد. و از بین ایستگاه‌های آب‌سنگی، داده‌های ایستگاه پل کشکان به دلیل قرارگیری در خروجی حوضه موردمطالعه و داده‌های ایستگاه باران‌سنگی سراب صیدعلی در مرکز حوضه انتخاب شدند. از آنچاکه وقوع سیلی در اسفند ۱۳۷۰ با دبی پیک ۱۰۲۰ مترمکعب در ثانیه، موجب ویرانی این ایستگاه هیدرومتری شده و بعداز آن داده‌برداری انجام‌نشده است، لذا یک دوره‌ی آماری ۲۴ ساله داده‌های دبی روزانه و پارامترهای هواشناسی بین سال‌های (۱۳۷۰-۱۳۴۶) انتخاب شده است. مقادیر متوسط ماهانه پارامترهای اقلیمی (بارش، دما و تبخیر) و همچنین دبی متوسط ماهانه ایستگاه پل کشکان در جدول (۳) ارائه شده است. بر اساس آمار موجود بیشترین دبی در فروردین ماه است در حالی که بیشترین بارندگی در بهمن ماه رخ می‌دهد. همچنین کمترین مقدار تبخیر و دما مربوط به دی ماه می‌باشد که این عدم تقارن زمانی پارامترهای اقلیمی و هیدرومتری دال بر برف‌گیر بودن نواحی بالادست حوضه و تأثیرپذیری زیاد رژیم رودخانه از ذوب برف ارتفاعات می‌باشد.

جدول (۳): متوسط دبی، بارش، دما و تبخیر دوره آماری استفاده شده (شرکت آب منطقه‌ای لرستان، ۱۳۹۲)

تبخیر (میلی‌متر)	دما (سانتی‌گراد)	بارش (میلی‌متر)	دبی (مترمکعب بر ثانیه)	ماه
۶/۰۷	۱۲/۴۷	۲۳/۳۷	۸/۰۴	مهر
۲/۷۱	۶/۹۹	۱۳۳/۴۵	۱۴/۰۷	آبان
۱/۱۹	۲/۲۱	۱۷۳/۰۵	۲۳/۸۱	آذر
۰/۳۳	۱/۰۶	۱۴۹/۶۴	۲۷/۳۶	دی
۰/۳۳	۱/۴	۱۸۷/۲۸	۴۰/۱۲	بهمن
۱/۱۱	۵/۳۸	۱۸۳/۷۲	۷۶	اسفند
۳/۲۵	۱۰/۳۷	۱۸۶/۶۳	۱۰۲	فروردین
۵/۱۷	۱۴/۷۷	۱۲۲/۹۳	۶۱/۰۴	اردیبهشت
۷/۸۷	۱۸/۹۸	۶/۶۸	۱۹/۵۲	خرداد
۱۰/۳۴	۲۳/۳۳	۰/۲۷	۱۰/۸۲	تیر
۱۱/۱۴	۲۱/۵۶	۰/۱۷	۷/۸۲	مرداد
۸/۹۱	۱۷/۶۸	۰/۸۳	۶/۷۴	شهریور

مدل هیدرولوژیک مورداستفاده در این تحقیق، مدل HEC-HMS می‌باشد که درواقع نسخه تحت ویندوز مدل HEC-1 است که در سال ۱۹۸۱ توسط مرکز مهندسی هیدرولوژی ارتش ایالات متحده آمریکا برای تهیه هیدرولوگراف سیل ارائه شد و پس از آن اصلاحات زیادی روی آن صورت گرفت تا در سال ۱۹۹۸ به نام HEC-HMS و تحت ویندوز ارائه شد. این مدل دارای سه بخش اصلی به نام‌های مدل حوضه، مدل اقلیمی و شاخص‌های کنترلی است. همچنین این مدل قابلیت واسنجی و تخمین پارامترهای موردنیاز در حوضه را نیز دارد. این مدل پس از اعتبارسنجی می‌تواند برای شبیه‌سازی فرآیند بارش-رواناب در حوضه و پیش‌بینی اثر تغییر پارامترها به کار رود. فرآیند موردادستفاده به منظور شبیه‌سازی بارش-رواناب در مدل HEC-HMS مطابق با دیاگرام ارائه شده در شکل (۳) می‌باشد (گروه مهندسین ارتش آمریکا، ۲۰۰۰: ۱۳).



شکل (۲): دیاگرام شبیه‌سازی بارش-رواناب در مدل HEC-HMS

با اجرای متعدد این مدل به ازای داده‌های مشاهداتی بارش-رواناب و مقایسه نتایج آن‌ها، اقدام به شناسایی بهترین مدل‌هایی که در این نرم‌افزار در حوضه آبریز موردمطالعه بهترین جواب را ارائه می‌نمایند، گردید. این مدل‌ها عبارت‌اند از:

۱. برای تبدیل بارش به رواناب از روش CN سازمان حفاظت خاک آمریکا (SCS) استفاده شود.
۲. برای شبیه‌سازی هیدرولوگراف سیل از مدل هیدرولوگراف واحد کلارک استفاده شود.
۳. افت جریان، به صورت ثابت ماهانه در نظر گرفته شود.

همچنین به منظور ارزیابی کارایی مدل در شبیه‌سازی مقادیر سیلاب روزانه (طی دوره‌های واسنجی و اعتبارسنجی)، معیارهای خطای ضریب تبیین (R^2)، شاخص پراکندگی (SI)، درصد خطای حجم (%EV)، درصد خطای برآورد دبی اوج (EQ_P) و خطای زمان رسیدن به اوج سیلاب (ET_P) در نظر گرفته شده است:

$$1 - \text{ضریب تبیین} (R^2)$$

$$R^2 = \left(\frac{\sum_{t=1}^n [Q_{obs}(t) - \bar{Q}_{obs}][Q_{sim}(t) - \bar{Q}_{sim}]}{\sqrt{\sum_{t=1}^n [Q_{obs}(t) - \bar{Q}_{obs}]^2 \sum_{t=1}^n [Q_{sim}(t) - \bar{Q}_{sim}]^2}} \right)^2 \quad \text{رابطه ۱}$$

۲- شاخص پراکندگی داده‌های شبیه‌سازی شده حول میانگین مشاهداتی (SI):

$$SI = \frac{\frac{1}{n} \sum_{t=1}^n |Q_{obs}(t) - Q_{sim}(t)|}{\bar{Q}_{obs}} \quad \text{رابطه ۲}$$

۳- درصد خطای حجم سیلاب (%EV):

$$\%EV = \frac{V_{obs} - V_{sim}}{V_{obs}} \times 100 \quad \text{رابطه‌ی (3)}$$

۴- درصد خطای پیش‌بینی دبی پیک (%EQ_P):

$$\%EQ_P = \frac{(Q_P)_{obs} - (Q_P)_{sim}}{(Q_P)_{obs}} \times 100 \quad \text{رابطه‌ی (4)}$$

۵- خطای پیش‌بینی زمان پیک سیلاب (ET_P):

$$ET_P = (T_P)_{obs} - (T_P)_{sim} \quad \text{رابطه‌ی (5)}$$

که در آن‌ها (Q_P)_{obs} مقدار دبی اوج مشاهداتی، (Q_P)_{sim} متوسط مقدار دبی اوج مشاهداتی، (T_P)_{obs} دبی اوج شبیه‌سازی شده، V_{obs} حجم دبی مشاهداتی، (T_P)_{sim} زمان دبی اوج مشاهداتی و (T_P)_{sim} زمان دبی اوج شبیه‌سازی شده می‌باشد.

تحلیل فراوانی سیلاب

به منظور بررسی کارآیی مدل هیدرولوژیکی HEC-HMS در شبیه‌سازی وقایع سیلابی تاریخی، لازم است تا آنالیز فراوانی بر روی داده‌های حداکثر بارش روزانه و حداکثر سیلاب لحظه‌ای ثبت شده در حوضه انجام شود. برای نیل به این هدف، ابتدا با استفاده از نرم‌افزار Easyfit بهترین توزیع برآذشی به داده‌های حداکثر دبی لحظه‌ای و ماکریم بارش یک‌روزه انجام به دست آمد. پس از بررسی توزیع‌های مختلف آماری بر اساس آزمون نکویی برآذش کلموگروف-اسمرینف در سطح اعتماد ۹۵٪ (۰.۰۵) مشخص شد که بهترین برآذش توزیع برای حداکثر دبی لحظه‌ای، توزیع پیرسون تیپ پنج سه‌پارامتری است که نتایج برآذش توزیع‌های مختلف بهمراه مقادیر پارامترها و مقدار آماره کلموگروف-اسمرینف هر یک در جدول (۴) آمده است. تابع چگالی احتمال (PDF) توزیع پیرسون تیپ پنج سه‌پارامتری به قرار زیر می‌باشد:

$$f(x) = \frac{\frac{\beta}{\gamma}}{\beta \Gamma(\alpha)} \left(\frac{x-\gamma}{\beta} \right)^{\alpha+1} \quad \text{رابطه‌ی (7)}$$

که α , β و γ پارامترهای توزیع و $\Gamma(\alpha)$ تابع گاماست که از طریق فرمول زیر محاسبه می‌شود:

$$\Gamma(\alpha) = \int_0^\infty t^{\alpha-1} e^{-t} dt \quad (\alpha > 0) \quad \text{رابطه‌ی (8)}$$

که پارامترهای توزیع فوق برابر با $\alpha = 2.3341$, $\beta = 410.06$, $\gamma = 21.638$ به دست آمده است. برای حداکثر بارش یک‌روزه، توزیع گامبل ماکریم به عنوان بهترین توزیع برآذشی انتخاب شد. تابع چگالی احتمال (PDF) آن به صورت زیر می‌باشد:

$$f(x) = \frac{1}{\delta} e^{-\frac{x-\mu}{\delta}} \quad \text{رابطه‌ی (9)}$$

$$Z = \frac{x-\mu}{\delta} \quad \text{رابطه‌ی (10)}$$

که در آن $\delta = 11.376$ و $\mu = 34.607$ به دست آمده است.

یافته‌های پژوهش واسنجدی و اعتبار سنجی مدل HEC-HMS

در این مرحله هیدرولوگراف شبیه‌سازی شده با مقادیر مشاهده شده در دو مرحله واسنجدی (بهینه‌سازی) و شبیه‌سازی (اعتبار سنجی) مقایسه می‌شود. هدف از این مقایسه، قضاوت در مورد چگونگی برآذش مدل HEC-HMS برای تخمین

پارامترهایی است که قابل اندازه‌گیری مستقیم در حوضه آبریز نیستند و لازم است توسط تکنیک‌های بهینه‌سازی و بر اساس داده‌های ورودی و خروجی داده شده به مدل تخمین زده شوند. اگر برآنش رضایت‌بخش نبود، مدل به طور سیستماتیک، پارامترها را اصلاح می‌کند و کار دوباره تکرار می‌شود. وقتی که برآنش مناسب باشد، مدل مقادیر بهینه را گزارش می‌کند. فرض اولیه این است که مقادیر بهینه‌شده پارامترها می‌توانند برای محاسبه رواناب یا روندیابی به کار رود. در این تحقیق بر اساس آزمون و خطای بسیار مدل‌های مناسب انتخاب و پارامترهای این مدل‌ها شامل زمان تأخیر^۱، تلفات اولیه^۲ و پارامتر شماره منحنی (CN) برای حوضه موردمطالعه بهینه گردید.تابع هدف مورداستفاده برای واسنجی مقادیر پارامترها، مجموع مریعات باقی‌مانده می‌باشد که از ویژگی این تابع هدف، دادن وزن بیشتری به خطاهای بزرگ و مقادیر کمتری به خطاهای کوچک می‌باشد. که رابطه این تابع هدف (Z) به صورت زیر است:

$$Z = \sum_{t=1}^n [Q_{obs}(t) - Q_{sim}(t)]^2 \quad (\text{رابطه ۶})$$

تمامی متغیرهای موجود در رابطه‌ی (۶) قبلًا تعریف شده‌اند. از آنجایی که هدف، ارزیابی مدل هیدرولوژیکی برای پیش‌بینی سیلاب می‌باشد، لذا از بین سری زمانی داده‌های بارش و دبی روزانه موجود، دوره‌هایی ترسالی (دوره‌هایی که مقادیر سیلاب آن‌ها بالاتر از میانگین علاوه انحراف معیار داده‌ها باشد) تعیین گردید. درنهایت داده‌های بارش-رواناب مربوط به سال ۱۳۹۷ برای واسنجی پارامترها به مدل داده شد. نتایج بدست آمده از برآورد مقادیر پارامترها توسط روش-های تجربی و همچنین مدل هیدرولوژیکی طی مرحله واسنجی در جدول (۴) آمده است. همان‌طور که مشاهده می‌شود نتایج تخمین پارامترها توسط مدل با مقادیر بدست آمده از روش‌های تجربی تطابق خوبی دارند. علاوه بر این، زمان تمرکز حوضه برابر ۳۵ ساعت و شماره منحنی آن برابر با ۴۵ نشان‌دهنده تأثیر غالب عوامل نفوذ آب در سطح حوضه و تلفات اولیه آن شامل تبخر، نگهداشت سطحی (چالاب)، برگاب در حین وقوع بارش می‌باشد.

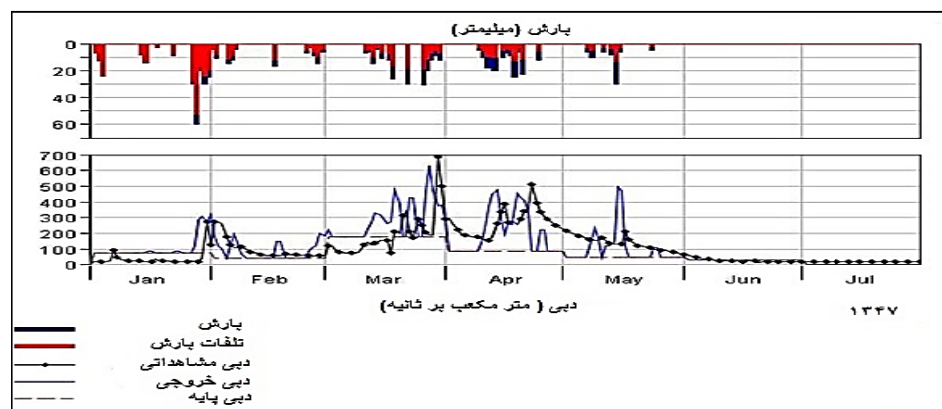
جدول (۴): نتایج بررسی حساسیت مدل‌های استفاده شده در HEC-HMS

پارامتر	روابط تجربی	مدل HEC-HMS	حساسیت تابع
زمان تأخیر(ساعت)	۲۲/۰	۲۱/۰۰	-۰/۰۲
زمان تمرکز(ساعت)	۳۷/۲	۳۵/۰۳	-۰/۰۱
شماره منحنی(-)	۴۸/۰	۴۵/۱۲	۰/۰۱
تلفات اولیه(میلی‌متر)	۴۰/۰	۴۱/۴۶	۰/۰۱

در شکل (۳) هایتوگراف بارش مازاد و تلفات بارش و هیدروگراف دبی مشاهداتی و شبیه‌سازی شده توسط مدل HEC-HMS طی مرحله واسنجی (بر اساس آمار سال ۱۳۹۷) ارائه شده است.

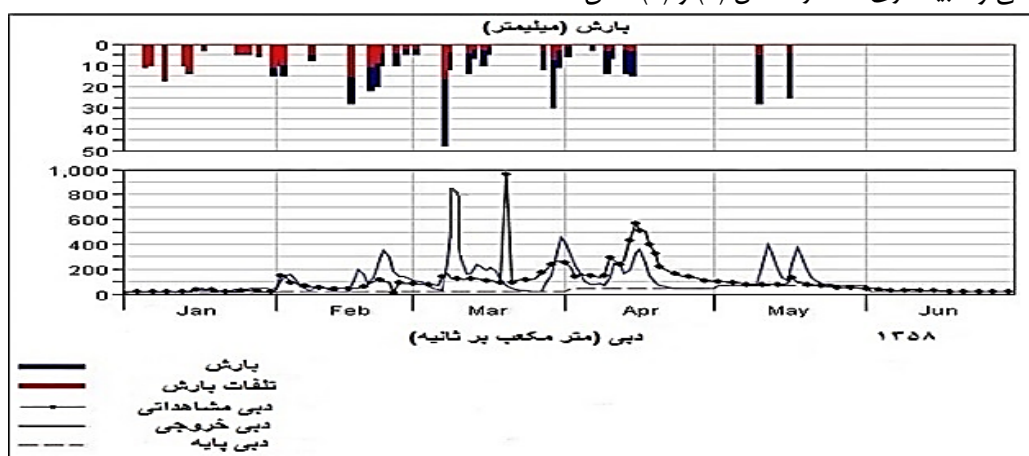
^۱ Lag Time

^۲ Initial Abstraction

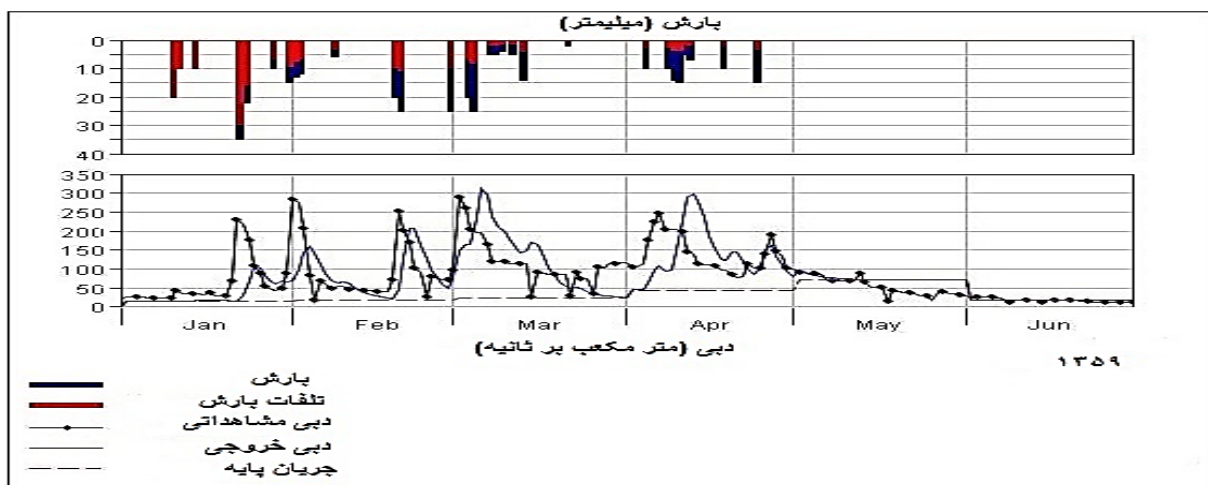


شکل (۳): نمودار بارش-رواناب برای دوره بهینه‌شده سال ۱۳۴۷

بر اساس مقادیر بهینه بدست آمده برای پارامترها در بخش واسنجی، به منظور ارزیابی عملکرد نکویی تخمین پارامترها توسط مدل، دو دوره ترسالی مربوط به سال‌های ۱۳۵۸ و ۱۳۵۹ نیز شبیه‌سازی شدند. هایتوگراف و هیدرولوگراف مقادیر مشاهداتی و شبیه‌سازی شده در اشکال (۴) و (۵) نشان داده شده است.



شکل (۴): نمودار بارش-رواناب برای دوره شبیه‌سازی شده سال ۱۳۵۸



شکل (۵): نمودار بارش-رواناب برای دوره شبیه‌سازی شده سال ۱۳۵۹

به منظور ارزیابی کمی و دقیق‌تر مدل مورداستفاده در شبیه‌سازی مقادیر بارش-رواناب در حوضه موردمطالعه، معیارهای خطای ارائه‌شده در روابط (۱) تا (۵) محاسبه و نتایج آن در جدول (۵) ارائه شده است. میانگین درصد خطای حجم برابر ۲/۸-درصد و میانگین درصد خطای دبی اوج ۴-۴ درصد محاسبه شده است (علامت منفی، نشان‌دهنده برآورد کمتر مدل نسبت به مقادیر مشاهداتی است). میانگین خطای زمان رسیدن به اوج ۳ روز می‌باشد. همچنین بالاترین شاخص آماری R^2 و SI به ترتیب ۰/۵۵ و ۰/۶۶ می‌باشد. که بیشترین مقدار درصد خطای مدل در شبیه‌سازی مقدار دبی اوج است که کمتر از مقدار واقعی شبیه‌سازی شده است.

جدول (۵): نتایج معیارهای خطابهای ارزیابی نکوبی برآشن مدل HEC-HMS به داده‌های مشاهداتی در دو مرحله واسنجی و شبیه‌سازی

پارامترهای مورد ارزیابی	دوره واسنجی	دوره سیلان	دوره اوج
سال ۱۳۵۹	سال ۱۳۵۸	سال ۱۳۴۷	دوره سیلان
۰/۴۲	۰/۵۵	۰/۴۵	R^2
۰/۴۹	۰/۶۵	۰/۶۶	SI
۳۳۳/۷۸	۴۰۸/۸۹	۵۳۹/۸۴	حجم دبی اوج مشاهداتی
۳۲۸/۳۶	۴۰۴/۶۱	۵۷۴/۸۳	حجم دبی اوج شبیه‌سازی شده
-۱/۵٪	-۱٪	-۶٪	درصد خطای حجم دبی اوج
۲۸۹/۵	۹۶۲/۵	۶۸۴	مقدار دبی اوج مشاهداتی
۳۱۳	۸۳۴/۶	۶۳۰/۳	مقدار دبی اوج شبیه‌سازی شده
۸٪	۱۳٪-	-۷٪	درصد خطای دبی اوج
۱ اسفند	۱۹ اسفند	۲۹ اسفند	زمان دبی اوج مشاهداتی
۵ اسفند	۱۸ اسفند	۲۷ اسفند	زمان دبی اوج شبیه‌سازی شده
۴	۱	۲	خطای زمان رسیدن به اوج (به روز)

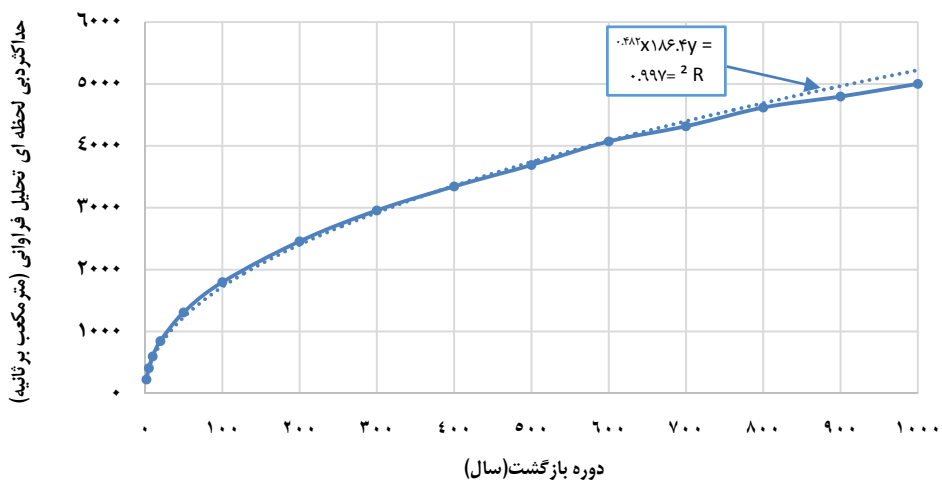
جدول (۶): نتایج برآشن توزیع دبی حداکثر لحظه‌ای و حداکثر بارش یک‌روزه

متغیر	نام توزیع	پارامترهای توزیع	آزمون کلموگروف-اسمیرنف		
			آماره	رتبه	P-Value
	Pearson 5 (3P)	a=2/3341 b=410/06 g=21/638	۰/۱۰۶۶	۱	۰/۸۹۸۹۲
۱	Lognormal (3P)	s=0/95433 m=5/0733 g=66/229	۰/۱۱۴۱۵	۲	۰/۸۴۹۵
۲	Pearson 6	a1=190/28 a2=2/87 b=3/1066	۰/۱۱۵۸۴	۳	۰/۸۳۷۳۵
۳	Pearson 5	a=2/8371 b=582/85	۰/۱۱۶۲۹	۴	۰/۸۳۴۰۶
۴	Gen. Pareto	k=0/1084 s=197/98 m=86/003	۰/۱۲۰۸۴	۵	۰/۷۹۹۲۷
۵	Log-Pearson 3	a=21/858 b=0/14058 g=2/4388	۰/۱۲۵۵۷	۶	۰/۷۶۱۰۹
۶	Gen. Extreme Value	k=0/30727 s=116/03 m=191/11	۰/۱۲۶۳۹	۷	۰/۷۵۴۲۴
۷	Log-Gamma	a=70/324 b=0/07837	۰/۱۳۷۶۵	۸	۰/۶۵۸۰۱
۸	Gumbel Max	$\sigma=11/376 \mu=34/607$	۰/۱۰۷۹۲	۱	۰/۸۹۰۹
۹	Normal	$\sigma=14/59 \mu=41/173$	۰/۱۰۶۵۲	۲	۰/۸۹۹۳۸
۱۰	Pearson 5 (3P)	$\alpha=35/488 \beta=2867/1 \gamma=-41/959$	۰/۱۰۸۶۱	۳	۰/۸۸۶۵۸
۱۱	Pearson 6 (4P)	$\alpha_1=103/59 \alpha_2=36/151 \beta=24/616 \gamma=-31/372$	۰/۱۰۸۸۵	۴	۰/۸۸۵۱
۱۲	Lognormal (3P)	$\sigma=0/22506 \mu=4/1173 \gamma=-21/795$	۰/۱۰۹۵۸	۵	۰/۸۸۰۴۴
۱۳	Gamma (3P)	$\alpha=9/4205 \beta=4/6668 \gamma=-2/7908$	۰/۱۱۲۲۳	۶	۰/۸۶۲۸۷
۱۴	Gen. Gamma	k=1/0066 $\alpha=8/0748 \beta=5/1703$	۰/۱۱۴۲۳	۷	۰/۸۴۸۹۳
۱۵	Pearson 6	$\alpha_1=8/2126 \alpha_2=17850/0 \beta=89412/0$	۰/۱۱۴۲۶	۸	۰/۸۴۸۷۲

پس از تعیین بهترین توزیع برآذشی به داده‌های دبی حداکثر لحظه‌ای و ماگزیم بارش یک‌روزه، دوره بازگشت‌های مختلف این دو متغیر از دو تا ۱۰۰۰ ساله در نرم‌افزار Easy fit محاسبه شد و نتایج در جدول (۷) ارائه شده است. نمودار تغییرات دبی‌های حداکثر با دوره بازگشت‌های مختلف در شکل (۶) ارائه شده است. همان‌طور که در این دیده می‌شود یک تابع توانی با ضریب تبیین بالا $0.997^{+0.001}_{-0.001}$ را می‌توان به این داده‌ها برآش داد (خط منقطع در شکل (۶). هرچند که فاصله بین تابع برآذشی و مقادیر به دست آمده از آنالیز فراوانی سیلاب، به ازای دوره بازگشت‌های بیشتر از ۸۰۰ سال افزایش می‌یابد.

جدول (۷) : مقادیر دبی حداکثر لحظه‌ای و ماگزیم بارش یک‌روزه به ازای دوره بازگشت‌های مختلف

دوره بازگشت (سال)																
۱۰۰۰	۹۰۰	۸۰۰	۷۰۰	۶۰۰	۵۰۰	۴۰۰	۳۰۰	۲۰۰	۱۰۰	۵۰	۲۵	۱۰	۵	۲		
۵۰۰۱	$4796^{+0.001}_{-0.001}$	$4617^{+0.001}_{-0.001}$	$4315^{+0.001}_{-0.001}$	$4069^{+0.001}_{-0.001}$	$3689^{+0.001}_{-0.001}$	$3343^{+0.001}_{-0.001}$	$2956^{+0.001}_{-0.001}$	$2457^{+0.001}_{-0.001}$	$1798^{+0.001}_{-0.001}$	$130.8^{+0.001}_{-0.001}$	$93^{+0.001}_{-0.001}$	$598^{+0.001}_{-0.001}$	$410^{+0.001}_{-0.001}$	$225^{+0.001}_{-0.001}$		
$113^{+0.001}_{-0.001}$	$112^{+0.001}_{-0.001}$	$111^{+0.001}_{-0.001}$	$109/6^{+0.001}_{-0.001}$	$107/8^{+0.001}_{-0.001}$	$105/5^{+0.001}_{-0.001}$	$103^{+0.001}_{-0.001}$	$100^{+0.001}_{-0.001}$	$95^{+0.001}_{-0.001}$	$87^{+0.001}_{-0.001}$	$79^{+0.001}_{-0.001}$	$71^{+0.001}_{-0.001}$	$60^{+0.001}_{-0.001}$	$51^{+0.001}_{-0.001}$	$38/78^{+0.001}_{-0.001}$		
ماگزیم بارش یک‌روزه (میلی‌متر)																

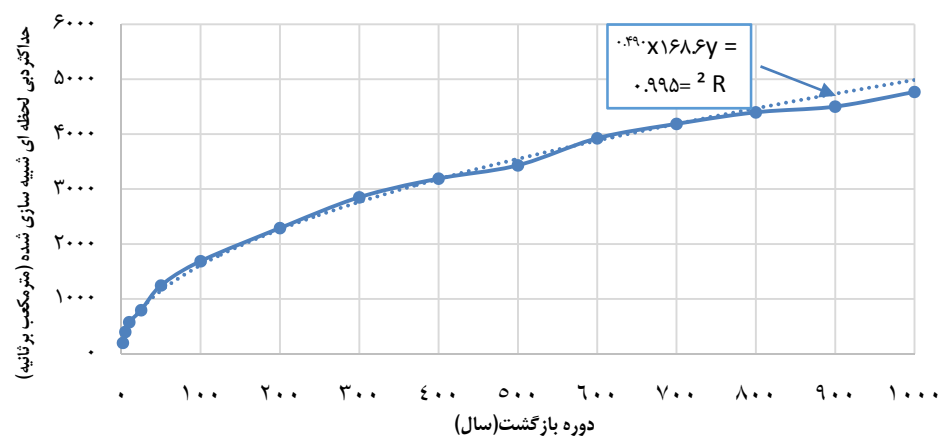


شکل (۶) : نمودار تغییرات حداکثر دبی لحظه‌ای تحلیل فراوانی سیلاب به ازای دوره بازگشت‌های مختلف

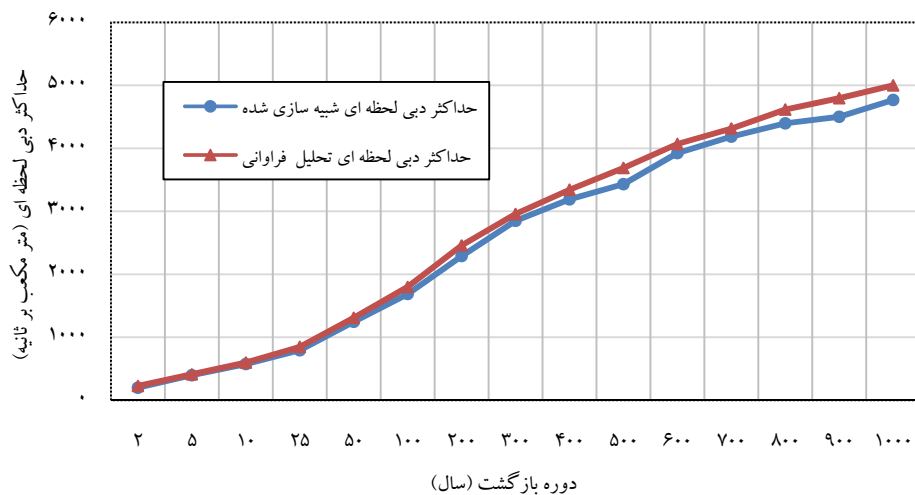
به منظور بررسی کارآیی مدل هیدرولوژیکی HEC-HMS در پیش‌بینی سیلاب‌های تاریخی (با دوره بازگشت‌های مختلف) داده‌های ماگزیم بارش یک‌روزه با دوره بازگشت‌های مختلف که از تحلیل فراوانی داده‌های ثبت شده در حوضه به دست آمده (جدول ۷) به عنوان ورودی به مدل HEC-HMS داده شد. مقادیر پارامترهای مدل همان مقادیر بهینه شده در جدول (۴)، در نظر گرفته شدند. هیدروگراف سیلاب متناظر با دوره بازگشت‌های مختلف شبیه‌سازی شد و نتایج به دست آمده در جدول (۸) و شکل (۷) ارائه شده است.

جدول (۸) : تغییرات دبی حداکثر لحظه‌ای شبیه‌سازی شده HEC-HMS به ازای دوره بازگشت‌های مختلف

دوره بازگشت (سال)	دوره
حداکثر	۱۰۰۰
دبی لحظه‌ای متربکب (بر ثانیه)	۹۰۰
	۸۰۰
	۷۰۰
	۶۰۰
	۵۰۰
	۴۰۰
	۳۰۰
	۲۰۰
	۱۰۰
	۵۰
	۲۵
	۱۰
	۵
	۲
	۱



شکل(۷): نمودار تغییرات حداکثر دبی لحظه‌ای شبیه‌سازی شده توسط مدل HEC-HMS به ازای دوره بازگشت‌های مختلف مشابه با داده‌های حداکثر دبی لحظه‌ای سیلاب با دوره بازگشت‌های مختلف که از تحلیل فراوانی به دست آمده است (شکل ۶) در اینجا نیز می‌توان تابع توانی با ضریب تبیین بالا 0.995 به مقادیر متناظر شبیه‌سازی شده توسط مدل HEC-HMS برازش داد. این مسئله در این مورد نیز برای دوره بازگشت‌های بالا، فاصله بین تابع برازشی و مقادیر شبیه‌سازی شده افزایش می‌یابد. سپس بهمنظور بررسی کارایی مدل HEC-HMS در شبیه‌سازی سیلاب با دوره بازگشت‌های بالا و مقایسه نتایج آن با دبی‌های پیک لحظه‌ای سیلاب به دست آمده از تحلیل فراوانی (شکل ۶) هر دو نمودار در کنار یکدیگر در شکل (۸) رسم شده است. نزدیکی مقادیر دو نمودار نشان‌دهنده قابلیت مدل HEC-HMS در شبیه‌سازی حداکثر دبی لحظه‌ای سیلاب به ازای دوره بازگشت‌های کوچک (کمتر از 300 سال) می‌باشد که در این محدوده، به خوبی می‌توان از این مدل هیدرولوژیکی استفاده نمود. اما به ازای دوره بازگشت‌های بیشتر از 500 سال، فاصله بین دو نمودار بیشتر می‌شود (مقادیر به دست آمده از مدل هیدرولوژیکی کمتر از مقادیر متناظر محاسبه شده از تحلیل فراوانی سیلاب می‌باشد) که نشان‌دهنده رعایت جانب احتیاط در استفاده از این مدل هیدرولوژیکی برای شبیه‌سازی سیلاب‌های بزرگ‌تر از 300 سال دارد.



شکل (۸) : نمودار تغییرات حداکثر دبی لحظه‌ای سیلاب به دست آمده از تحلیل فراوانی سیلاب و شبیه‌سازی شده توسط مدل HEC-HMS به ازای دوره بازگشت‌های مختلف

نتیجه‌گیری

نتایج به دست آمده از این تحقیق نشان داد که بر اساس معیارهای نکویی برازش محاسبه شده، مدل هیدرولوژیکی HEC-HMS کارآیی بالایی در شبیه‌سازی سیلاب‌های تاریخی با دوره بازگشت ۳۰۰ ساله (30^3 مترمکعب در ثانیه) یا کوچک‌تر در حوضه کشکان رود را دارد. اما به ازای دوره بازگشت‌های بیشتر از ۵۰۰ سال، خطای این مدل بیشتر می‌شود. پارامترهای واستنجی شده توسط این مدل (مانند زمان تمرکز، شماره منحنی و زمان تأخیر) نزدیک به مقادیر تخمین زده شده توسط روش‌های تجربی می‌باشد. توجه به این نکته ضروری است که علیرغم کارآیی بالای مدل HEC-HMS در حوضه موردمطالعه، برای پیش‌بینی سیلاب‌های تاریخی با دوره بازگشت بالاتر که مشابه آن در طول دوره آماری ثبت شده موجود نمی‌باشد، بایستی ریسک استفاده از روش‌های تحلیل فراوانی و مدل‌های هیدرولوژیکی را نیز مدنظر قرارداد. در این راستا توجه به نوع عوارض ژئومورفولوژیکی تشکیل شده در مسیر رودخانه به عنوان شواهد عینی شرایط هیدرولوژیکی حاکم بر رودخانه طی میلیون‌ها سال که از عمر تشکیل رودخانه می‌گذرد می‌تواند در جهت تأیید و یا رد نتایج به دست آمده از تحلیل‌های فراوانی و یا مدل‌های هیدرولوژیکی کمک شایانی نماید و تصمیم‌گیرنده را در جهت اتخاذ برنامه‌ریزی صحیح مدیریت سیلاب رهنمون سازد. لذا پیشنهاد می‌شود که در تحقیقات آتی در حوضه موردمطالعه برای برآورد مقدار سیل با دوره بازگشت‌های بزرگ، به شواهد ژئومورفولوژیکی در طول مسیر رودخانه نیز توجه شود.

فهرست منابع

- جعفر نیا، جابر و امامقلی زاده، صمد، ۱۳۹۲. برآورد سیلاب حوضه آبریز رودخانه تالار (زیر حوضه کسیلیان) با استفاده از مدل HEC-HMS ، کنفرانس ملی مدیریت سیلاب، تهران.
- سوری نژاد، علی، ۱۳۸۱ . برآورد حجم رواناب حوضه آبخیز رودخانه کشکان با استفاده از GIS ، پژوهش‌های - جغرافیایی، ۱۳۸۱ (۴۳): ۸۰-۵۷.
- شرکت آب منطقه‌ای استان لرستان، ۱۳۹۲. اطلاعات و مشخصات رودخانه‌های استان لرستان.
- شعبانلو، سعید و حسین صدقی و بهرام ثقفیان و حبیب موسوی جهرمی، ۱۳۸۷. پهنه‌بندی سیلاب در شبکه رودخانه‌های استان گلستان با استفاده از GIS. مجله پژوهش آب ایران ۲ (۳): ۲۲-۱۱.

- علیزاده، امین، ۱۳۸۸. اصول هیدرولوژی کاربردی، مؤسسه چاپ و انتشارات آستان قدس رضوی.
- قدسیان، مسعود، ۱۳۷۷. مهار سیلاب و مهندسی زهکشی ، دانشگاه تربیت مدرس ، تهران.
- قمی اویی، فرشته و محمدصادق صادقیان و امیرحسین جاوید و سیداحمد میرباقری ، ۱۳۸۹. شبیه‌سازی پهنه‌بندی سیل با استفاده از مدل *HEC-RAS* (مطالعه موردی : روختانه کارون حدفاصل بند قیر تا اهواز).
- فصلنامه علوم و فنون منابع طبیعی، ۱۳۸۹ (۱): ۱۰۵-۱۱۵.
- کرمی، فریبا و هنگامه شیراوند و فاطمه درگاهیان، ۱۳۸۹. بررسی الگوی سینوپتیک سیل بهمن ۱۳۸۴ شهرستان پلدختر. فصلنامه جغرافیایی و مطالعات محیطی، ۲ (۴): ۹۹-۱۰۶.
- نگارش، حسین و تقی طاوسی و مهدی مهدی نسب ، ۱۳۹۰. بررسی شدت سیل خیزی حوضه آبریز روختانه کشکان. فصلنامه جغرافیایی لار ، ۱۳۹۰ (۱۳) ۵۸-۴۹.
- نوحه‌گر، احمد و نسیم قشقایی‌زاده و ارشک حلی‌ساز ، ۱۳۹۱. واسنجی و اعتبار یابی مدل *HEC-HMS* و آنالیز حساسیت آن در برآورد مشخصه‌های هیدروگراف سیلاب(مطالعه موردی : حوضه آبخیز جاماش استان هرمزگان)، همایش ملی علوم مهندسی آب و فاضلاب، کرمان، دانشگاه تحصیلات تکمیلی صنعتی و فناوری پیشرفت. •
- نوری، فریده و جواد بهمنش و بایرامعلی محمدتراد و حسین رضایی ، ۱۳۹۱. ارزیابی مدل WMS/*HEC-HMS* در پیش‌بینی سیلاب حوضه آبریز قزوون. مجله پژوهش‌های حفاظت آب و خاک، ۱۹، (۴) ۲۱۰-۲۰۱.
- Brooks, K.N., Gregersen, H.M., Berglund, E.R. & Tayaa, M. 1981. *Economic evaluation of watershed projects: an overview of methodology and application*. Water Resources Bulletin, 18: 245-250.
- Chang, C.H. Huang, W., 2013, *Hydrological modeling of typhoon-induced extreme storm runoffs from Shihmen watershed to reservoir, Taiwan*. Nat Hazards (2013) 67:747–761.
- El Hamdouni, R. Irigaray, C. Fernandez, T. Chacón, J. & Keller, E. A., 2007- Assessment of relative active tectonics, southwest border of Sierra Nevada (southern Spain). *Geomorphology* 96, 150–173.
- James, A., (1999) *Time and the Persistenece of Alluvium: River engineering, fluvial, geomorphology, and mining sedimenti California*, *Geomorphology*, vol: 31, Pp: 256-290.
- Joo, J. Kjeldsen, T. Kim, H. Lee, H., (2014), *A Comparison of Two Event-based Flood Models (ReFH-rainfall Runoff Model and HEC-HMS) at Two Korean Catchments, Bukil and Jeungpyeong*. – 330 – *KSCE Journal of Civil Engineering* (2014) 18(1):330-343.
- Miller S.N. Kepner W.G. and Mehaffey M.H. 2002. *Integration Landscape Assessment and Hydrologic Modeling for Land Cover Change Analysis*. *Journal of the American Water Resources Association*. 38(4):919-929. 16- US Army Corps of Engineers. 1992. H
- Smith, K., (1992), *Environmental Hazards, Assessing Risks and Reducing Disaster*; Routledge 254.
- US Army Corps of Engineers., (2000), *Hydrologic modeling system HEC-HMS: Technical Reference Manuals*. Hydrologic Engineering Center; USA.